

Aula 18 - 14/10

terça-feira, 27 de outubro de 2020 09:09

- Teorema do pto. fixo de Banach:

$F: M \ni$ contracção $\Rightarrow \exists! \bar{x} \in M$

tq $F(\bar{x}) = \bar{x}$ e $\forall x_0 \in M$, a seq. def.

por $x_{n+1} = F(x_n)$ converge p/ \bar{x} .

(Enunciado + prova)

- Escolio:

$$d(\bar{x}, x_n) \leq \frac{k^n}{1-k} d(x_0, x_0)$$

- Aplicação: Existência e unicidade p/ o problema de Cauchy $\begin{cases} y' = f(t, y) \\ y(t_0) = y_0 \end{cases}$

(Enunciado)

- Teorema: $M = C[a,b]$ com d_∞ é completo
(Serve p/ $C(K)$, K cpt. lhm)

- Recordação da diferença entre convergência pontual e uniforme p/ $(f_n)_{n \in \mathbb{N}}, f_n: M \rightarrow \mathbb{R}$

- Exemplo: $f_n(x) = x^n, x \in [0,1]$
converge pontualmente p/ f descontínua
(ou n-uniformemente)

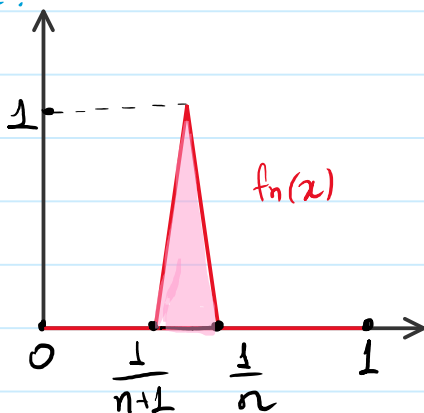
- Relação entre convergência uniforme e d_∞ em um dom. cpt.

- Pergunta: $C[a,b]$ c/ a distância d_∞ é completo?

Resposta:

Resposta:

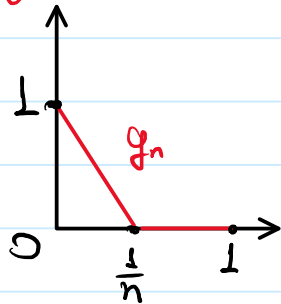
NÃO!



$$d_L(f_n, f_{n+k}) \leq \frac{1}{n(n+1)} \Rightarrow (f_n)_{n \in \mathbb{N}} \text{ é de}$$

Cauchy com respeito à métrica d_L , mas
 $f_n \xrightarrow{d_L} f \Rightarrow$ não é exemplo deste espaço
Ser completo

Exercício: • decidir se a seq. $(g_n)_{n \in \mathbb{N}}$ converge neste espaço:

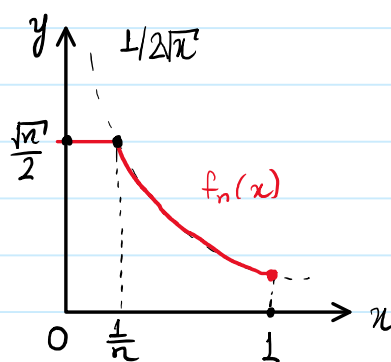


- Procurar exemplo de seq. de Cauchy que não converge neste espaço

Aula 19 - 16/10

domingo, 1 de novembro de 2020 01:33

- Exemplo 1



$d_L(f_{n+k}, f_n) \leq \sqrt{\frac{1}{n}} \Rightarrow (f_n)_{n \in \mathbb{N}}$ é uma sequência de Cauchy

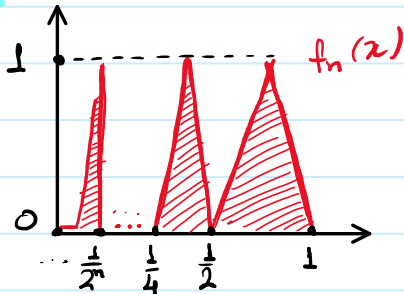
- Af. Se $f_n \xrightarrow{d_L} f$, em $(0, 1]$ temos $f(x) = \frac{1}{2\pi x}$.

Ideia:

$$d(f_n, f) \geq \int_{\frac{1}{n_0}}^1 |f - g| dx - \int_{\frac{1}{n_0}}^1 |f_n - g| dx \xrightarrow[n \rightarrow \infty]{} 0$$

→ tem que ser 0

- Exemplo 2



$f_n \xrightarrow{d_L} f \Rightarrow f$ é a "função zig-zag" em $(0, 1]$, embora $(f_n)_{n \in \mathbb{N}}$ seja uniformemente limitada e de Cauchy em L_1 .

- Demonstração do teorema de que $C[a, b]$ é completo.

Atenção à ordem correta da demonstração: ① o limite pontual é contínuo

② ocorre a convergência em $C[a, b]$ p/ este limite

- Obs de que tb. vale p/ $C(K, N)$, K cpto. e N completo

Aula 20 - 19/10

segunda-feira, 9 de novembro de 2020 21:44

- Teorema da Aproximação de Weierstrass:

Dados $f \in C[a,b]$, $\epsilon > 0 \Rightarrow \exists p_\epsilon : [a,b] \rightarrow \mathbb{R}$ função polinomial tq. $d_{\infty}(f, p_\epsilon) < \epsilon$
[$P[a,b]$ é denso em $C[a,b]$]

- Teorema da Aproximação Polinomial

Dados $K \subset \mathbb{R}^p$ cpto, $f: K \rightarrow \mathbb{R}^q \Rightarrow \forall \epsilon > 0 \exists p_\epsilon: K \rightarrow \mathbb{R}^q$ função polinomial (nas componentes) tq. $\|f(x) - p_\epsilon(x)\| < \epsilon \forall x \in K$.

- Teorema de Stone Kleierstrass

Sejam $K \subset \mathbb{R}^p$ e $\Lambda \subset C(K)$ satisfazendo:

- Λ está em L
- $\forall f, g \in \Lambda, a, b \in \mathbb{R}, af + bg \in \Lambda$
- $f, g \in \Lambda \Rightarrow fg \in \Lambda$
- $x, y \in K \text{ e } x \neq y \Rightarrow \exists f \in \Lambda \text{ tq. } f(x) \neq f(y)$

[Álgebra separante]

Então quer $f: K \rightarrow \mathbb{R}$ contínua pode ser uniformemente aproximada por funções de Λ .

- Teorema de Aproximação de Stone

$K \subset \mathbb{R}^p$ cpto, $\Lambda \subset L(K)$ satisfazendo:

- $f, g \in \Lambda \Rightarrow \inf\{f, g\}, \sup\{f, g\} \in \Lambda$
- $x, y \in K \text{ e } x \neq y \Rightarrow \text{dados } a, b \in \mathbb{R} \exists f, g \in \Lambda \text{ tq. } f(x) = a \text{ e } g(y) = b$

Então quer $f: K \rightarrow \mathbb{R}$ contínua pode ser uniformemente aproximada por funções de Λ .

- Def de equicontinuidade

- Teorema de Arzela-Ascoli

$K \subset \mathbb{R}^p$ cpto e $\mathcal{F} \subset C(K, \mathbb{R}^q)$. São equivalentes:

- \mathcal{F} é uma família limitada e uniformemente equicontínua
- Cada seq. em \mathcal{F} tem uma subseqüência que converge uniformemente em K (ou seja, em $C(K, \mathbb{R}^q)$)

[Conclusão: \mathcal{F} é cpto. em $C(K, \mathbb{R}^q)$]

- Exemplo: Aplicação às EDP

$$\begin{cases} \Delta u = 0 & \forall x \in \Omega \\ u|_{\partial\Omega} = u_0 \end{cases}, \text{ onde:}$$



$\Omega \subset \mathbb{R}^n$ aberto limitado

$$u_0 \in C(\bar{\Omega})$$

$\bar{\Omega}$ é cont.

$$u \in C(\bar{\Omega}) \cap C^2(\Omega)$$

(Problema de contorno p/ a equação de Laplace)

Solução tem forma integral \Rightarrow se soubermos resolver p/ um conjunto denso de u_0 's conseguimos produzir soluções por aproximações e limites.

- **Objetos de estudo:**

- conjuntos definidos por "zeros" de funções (sistemas não-lineares $f(x)=0$)
- conjuntos que são gráficos de funções
- conjuntos que são imagens de funções

 \mathbb{R}^2

Lembrete: restringir-se a retas em geral
não é suficiente p/ obter info a respeito
de uma função de 2 ou + variáveis

- **Derivada parcial e derivada direcional:**

$$f: A \subset \mathbb{R}^p \rightarrow \mathbb{R}^q, a \in A$$

$$D_v f(a) = \frac{\partial f}{\partial v}(a) = \lim_{t \rightarrow 0} \frac{f(a+tv) - f(a)}{t}$$

[Derivada direcional]

$$\frac{\partial f}{\partial x_i}(a) = \frac{\partial f}{\partial x_i}(a_1, \dots, a_n) = D_{e_i} f(a) = \lim_{t \rightarrow 0} \frac{f(a_1, \dots, a_i+t, \dots, a_n) - f(a_1, \dots, a_n)}{t}$$

[Derivada parcial]

- **Gradiente de $f: A \subset \mathbb{R}^p \rightarrow \mathbb{R}$:** $\nabla f(a) = \left(\frac{\partial f}{\partial x_1}(a), \dots, \frac{\partial f}{\partial x_n}(a) \right)$

- **Matriz Jacobiana de $f: A \subset \mathbb{R}^p \rightarrow \mathbb{R}^q$:**

$$Jf(a) = \begin{bmatrix} \frac{\partial f_1}{\partial x_1}(a) & \dots & \frac{\partial f_1}{\partial x_p}(a) \\ \vdots & \ddots & \vdots \\ \frac{\partial f_q}{\partial x_1}(a) & \dots & \frac{\partial f_q}{\partial x_p}(a) \end{bmatrix} \quad (q \times p)$$

- $D_{\alpha \nu} f(\bar{x}) = \alpha D_v f(\bar{x})$

- Mesmo que $\exists D_v f(\bar{x})$ e $D_w f(\bar{x})$, não precisa existir $D_{vw} f(\bar{x})$

- Exemplo: $f: \mathbb{R}^2 \rightarrow \mathbb{R}$

$$f(x_1, x_2) = \begin{cases} \frac{x_1 x_2^2}{x_1^2 + x_2^2} & (x_1, x_2) \neq (0, 0) \\ 0 & (x_1, x_2) = (0, 0) \end{cases}$$

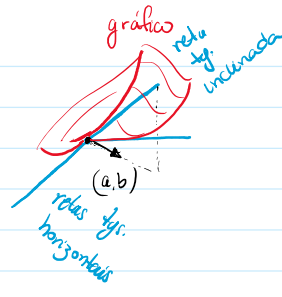
Exercício: $v = (a, b) \Rightarrow \exists D_v f(0,0) = \dots$

- Exemplo: discussão sobre a aproximação $\frac{|\text{Erro}|}{\|\bar{x} - \bar{x}\|} = \frac{|f(\bar{x}) + Df(\bar{x})(x - \bar{x})|}{\|\bar{x} - \bar{x}\|}$ e plano tangente

transformação
linear como função
de $x - \bar{x}$

- Definições de diferenciabilidade e da diferencial

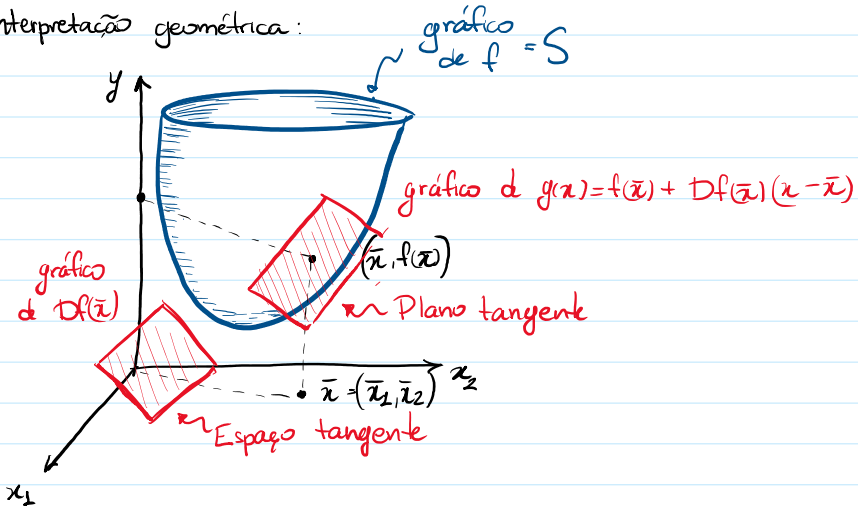
$$\begin{aligned} Df(\bar{x}) : \mathbb{R}^n &\rightarrow \mathbb{R}^q \\ u &\mapsto Df(\bar{x})(u) \end{aligned} \quad \begin{array}{l} (\text{Transformação}) \\ \text{Linear} \end{array}$$



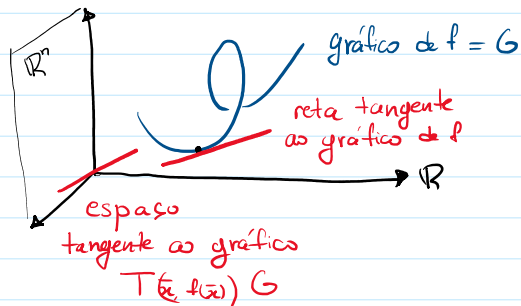
- $f: A \subset \mathbb{R} \rightarrow \mathbb{R}$ é derivável em $\bar{x} \in A^\circ \Leftrightarrow$ é diferenciável. Além disso, $Df(\bar{x})(u) = f'(\bar{x})u$

Exercício: Demonstrar este resultado

- Interpretacão geométrica:



- Proposição: $f: A \subset \mathbb{R} \rightarrow \mathbb{R}^n$ é derivável \Leftrightarrow é diferenciável e $Df(\bar{x})u = (f'_1(\bar{x})u, \dots, f'_m(\bar{x})u)$



Exemplo.

$$f(x,y) = \begin{cases} \frac{xy^2}{x^2+y^2} & (x,y) \neq (0,0) \\ 0 & (x,y) = (0,0) \end{cases} \Rightarrow T_0(u) = Jf(0,0)u \text{ é diferencial de } f \text{ em } (0,0).$$

Pergunta: Alguna $S: \mathbb{R}^2 \rightarrow \mathbb{R}$ linear é $Df(0,0)$?

Resposta: NÃO! Ver resultados seguintes

Obs. $Df(\bar{x}) u = \frac{\partial f}{\partial x}(\bar{x}) u$ e $[Df(\bar{x})]$ canônica = $Jf(\bar{x})$

Corolário. A única candidata a $Df(\bar{x}): \mathbb{R}^n \rightarrow \mathbb{R}^q$ é $T(\bar{x}) = Jf(\bar{x})u$

$Df(\bar{x})u = \underbrace{Df(\bar{x})}_{\text{é linear em } \bar{x}} u$

Teorema: Condições necessárias para diferenciabilidade em $\bar{x} \in A^\circ$

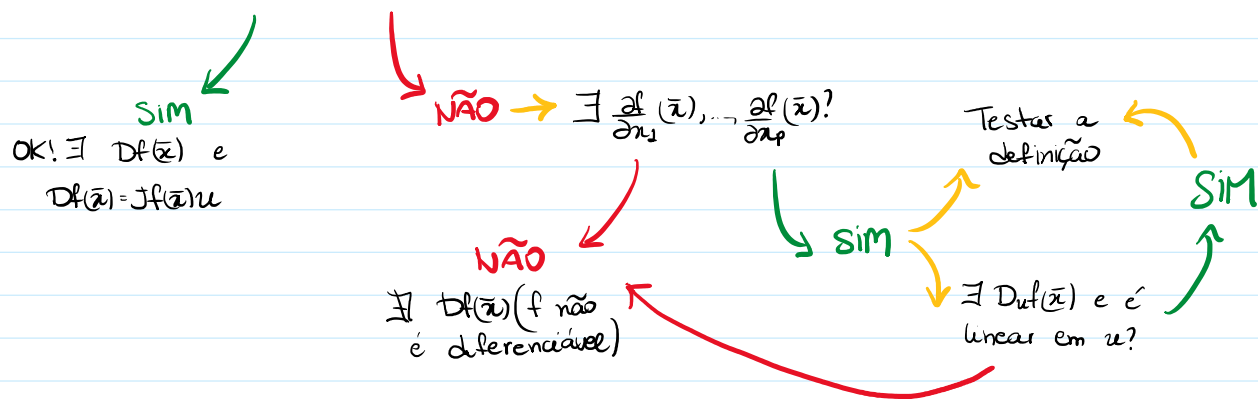
Teorema. $f: A \subset \mathbb{R}^n \rightarrow \mathbb{R}^q$, $\bar{x} \in A^\circ$. Suponha que $\exists \frac{\partial f}{\partial x_1}, \dots, \frac{\partial f}{\partial x_p}$ em uma vizinhança de \bar{x} e sejam contínuas em \bar{x} . Então, f é diferenciável em \bar{x} .
[Condição suficiente para diferenciabilidade]

- Aplicação do TVM p/ $f: \mathbb{R}^p \rightarrow \mathbb{R}$

- Demonstração do teorema p/ condições suficiente p/ diferenciabilidade

- Exemplo. $f: \mathbb{R}^3 \rightarrow \mathbb{R}$, $f(x) = x_1 e^{x_2 x_3} + \cos x_1 x_3^2$ é diferenciável em $\bar{x} = (1, 2, 3)$?

- Resumo: $\exists \frac{\partial f}{\partial x_1}, \dots, \frac{\partial f}{\partial x_p}$ em uma vizinhança de \bar{x} e são contínuas em \bar{x} ?



• Recordação de $\|T\| = \sup_{\|x\|=1} \|T(x)\|$, satisfazendo $\|I\|=1$ e $\|T \circ S\| \leq \|T\| \|S\|$ é norma em $\mathcal{L}(\mathbb{R}^p, \mathbb{R}^q)$

- T linear $\Rightarrow \|T(u)\| \leq \|T\| \|u\| \forall u \in \mathbb{R}^n$, e T é Lipschitz

- Propriedades da diferencial: $f, g: A \subset \mathbb{R}^p \rightarrow \mathbb{R}^q$ diferenciáveis em $\bar{x} \in A^\circ$.
 - (i) f é contínua em \bar{x}
 - (ii) $Df(\bar{x})$ é única
 - (iii) $D(\alpha f + \beta g)(\bar{x}) = \alpha Df(\bar{x}) + \beta Dg(\bar{x})$

Exercício: Demonstrar essas propriedades

- Regra da cadeia: $D(f \circ g)(\bar{y}) = Df(g(\bar{y})) \circ Dg(\bar{y})$
- Corolário: $J(f \circ g)(\bar{y}) = Jf(g(\bar{y})) Jg(\bar{y})$
- Revisão da prova da regra da cadeia no caso real
- Demonstração da regra da cadeia (usando norma de transf. linear)

Exercício: $f, g: \mathbb{R}^p \rightarrow \mathbb{R}^q$ diferenciáveis em \bar{x}

(a)

$$H: \mathbb{R}^p \rightarrow \mathbb{R}$$

$$H(x) = \langle f(x), g(x) \rangle$$

$\Rightarrow H$ é diferenciável em \bar{x} e: $DH(\bar{x})(u) = \langle Df(\bar{x})(u), g(\bar{x}) \rangle + \langle f(\bar{x}), Dg(\bar{x})(u) \rangle$

(b)

$$G: \mathbb{R}^p \times \mathbb{R}^p \rightarrow \mathbb{R}$$

$$G(x, y) = \langle f(x), g(y) \rangle$$

$\Rightarrow G$ é diferenciável em (\bar{x}, \bar{x}) e: $DG(\bar{x}, \bar{x})(u, v) = \langle Df(\bar{x})(u), g(\bar{x}) \rangle + \langle f(\bar{x}), Dg(\bar{x})(v) \rangle$

- **Teorema:** $f: A \subset \mathbb{R} \rightarrow \mathbb{R}$, se A é segmento de extremidades $x_1, x_2 \in A$. Se f é diferenciável em cada pto. de S , então $\exists \bar{x} \in S$ t.q: $f(x_2) - f(x_1) = Df(\bar{x})(x_2 - x_1)$

- **Obs:** O teorema não funciona p/ $f: \mathbb{R}^n \rightarrow \mathbb{R}^q$

- **Teorema:** $f: A \subset \mathbb{R}^p \rightarrow \mathbb{R}^q$, se como antes. Então $\exists \bar{x} \in S$ t.q: $\|f(x_2) - f(x_1)\| \leq \|Df(\bar{x})\| \|x_2 - x_1\|$

- **Método de Newton** p/ zeros de funções:

$$\begin{array}{c} \text{Equação: } f(x)=0 \\ \xrightarrow{\quad} \text{Equação equivalente de} \\ \text{pto. fixo: } \phi(x)=x \\ \downarrow \text{Método de Newton} \\ \phi(x) = x - \frac{f(x)}{f'(x)} \end{array}$$

\bar{x} zero de f e $f'(\bar{x})=0 \Rightarrow$ f não é def num vizinho de \bar{x} , $\phi(\bar{x})=0 \Rightarrow \exists [a, b] \text{ t.q. } \|\phi(x)\| \leq k < 1 \forall x \in [a, b]$
Diminuindo $[a, b]$ se necessário: $\phi([a, b]) \subset [a, b]$ e é contracção

- **Método de Newton p/ sistemas não-lineares**

$$f: A \subset \mathbb{R}^p \rightarrow \mathbb{R}^p$$

$$x = (x_1, \dots, x_p) \mapsto f(x) = (f_1(x), \dots, f_p(x)) \text{ com } Df(x) \text{ inversível } \forall x \in A$$

$$\phi \text{ ob método de Newton: } \phi(x) = x - [Df(x)]^{-1} f(x)$$

$$J\phi(\bar{x}) = I - J[Df(\bar{x})]^{-1} f(\bar{x}) \Rightarrow D\phi(\bar{x}) = 0 \Rightarrow \exists \text{ bola } B_\epsilon(\bar{x}) \text{ onde } \|D\phi(\bar{x})\| \leq k < 1$$

- Aplicações do TVM: $f: \mathbb{R}^n \rightarrow \mathbb{R}^p$ com derivadas parciais contínuas

$$Df: \mathbb{R}^n \rightarrow L(\mathbb{R}^n, \mathbb{R}^p)$$

$$x \mapsto Df(x): \mathbb{R}^n \rightarrow \mathbb{R}^p$$

I) A função Df é contínua

II) $K \subset \mathbb{R}^n$ cpt. $\Rightarrow f|_K$ é Lipschitz

Exercício: Provar I

- Derivadas parciais de ordem mais alta

- Definição de f de classe C^k

- Teorema: Se $f: \mathbb{R}^n \rightarrow \mathbb{R}$ tem derivadas de 1ª ordem contínuas, $\exists \frac{\partial^2 f}{\partial x_i \partial x_j}$ e é contínua em \bar{x} , então $\exists \frac{\partial^2 f}{\partial x_i \partial x_j}(\bar{x})$ e: $\frac{\partial^2 f}{\partial x_i \partial x_j}(\bar{x}) = \frac{\partial^2 f}{\partial x_j \partial x_i}(\bar{x})$. [Teorema de Schwartz]

- Exemplo: $f: \mathbb{R}^2 \rightarrow \mathbb{R}$, $f(x_1, x_2) = \begin{cases} 0 & x_1 \notin \mathbb{Q} \\ 1 & x_1 \in \mathbb{Q} \end{cases} \Rightarrow \frac{\partial f}{\partial x_1}(\bar{x}) = 0 \forall \bar{x}, \frac{\partial f}{\partial x_2}(\bar{x}) \neq 0 \forall \bar{x}$

Exercício: Procurar um exemplo onde ambas existem e são diferentes

- Derivadas (diferenciáveis) de ordem superior

- $\exists \frac{\partial f}{\partial x_1}, \dots, \frac{\partial f}{\partial x_p} \Rightarrow \exists Jf(\bar{x})$

Situação I

- $\exists \frac{\partial f}{\partial x_1}, \dots, \frac{\partial f}{\partial x_p}$ numa viz. de \bar{x} e são contínuas em $\bar{x} \Rightarrow \exists Df(\bar{x})$
- f de classe $C^1 \Rightarrow \exists Df(\bar{x}) \forall \bar{x} \in \Omega$ e $Df(\bar{x})(\bar{u}) = Jf(\bar{x})\bar{u}$

- $\exists \frac{\partial^2 f}{\partial x_i \partial x_j}(\bar{x}) \Rightarrow \exists \text{ Hess } f(\bar{x}) \in M_{pp}(\mathbb{R})$

Situação II

- $\exists \frac{\partial^2 f}{\partial x_i \partial x_j}$ e são contínuas em $\bar{x} \Rightarrow$ essa matriz é simétrica
- f de classe $C^2 \Rightarrow \text{Hess } f(\bar{x})$ existe e é simétrica $\forall \bar{x}$

- Definição: $D^2f(\bar{x}): \mathbb{R}^p \times \mathbb{R}^p \rightarrow \mathbb{R}$ é a forma bilinear $D^2f(\bar{x})(\bar{u}, \bar{v}) = \sum_i \frac{\partial^2 f}{\partial x_i \partial x_j}(\bar{x}) u_i v_j$

$$D^2f(\bar{x})(\bar{u}, \bar{v}) = \langle \text{Hess } f(\bar{x}) \bar{u}, \bar{v} \rangle = \bar{v}^\top \text{Hess } f(\bar{x}) \bar{u}$$

- Pergunta: $\left| \frac{f(x) - f(\bar{x}) + Df(\bar{x})(x - \bar{x}) + \frac{1}{2!} D^2f(\bar{x})(x - \bar{x})^2}{\|x - \bar{x}\|^2} \right| \xrightarrow{x \rightarrow \bar{x}} 0 ?$

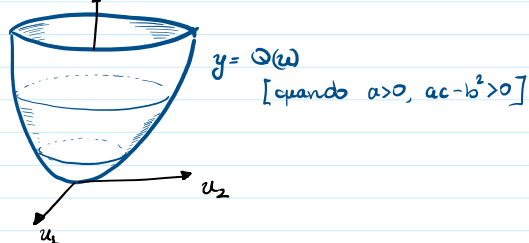
Resposta: Sim, se f é de classe C^2 .

• Revisão de como chegar nas círcunferências de ordem superior

• $f \in C^2 \Rightarrow Q(u) = D^2f(\bar{x})(u)^2 = \frac{\partial^2 f}{\partial x_1^2}(\bar{x}) u_1^2 + \frac{\partial^2 f}{\partial x_1 \partial x_2}(\bar{x}) u_1 u_2 + \frac{\partial^2 f}{\partial x_2^2}(\bar{x}) u_2^2$ é uma forma quadrática.

• Gráficos de cónicas:

$\begin{cases} \text{dependem dos auto-} \\ \text{valores da matriz} \\ (\text{simétrica}) \begin{bmatrix} a & b \\ c & d \end{bmatrix} \text{ de } Q \end{cases}$



• Exemplo. $f: \mathbb{R}^2 \rightarrow \mathbb{R}$, $f(x) = x_1^2 + 4x_2^2 + r(x)$, $\bar{x} = (0,0)$, com a hipótese: $\lim_{x \rightarrow \bar{x}} \frac{r(x)}{\|x - \bar{x}\|^2} = 0$

$$f(\bar{x}) = 0 \quad (\text{aproximação cte. p/ } f)$$

$$Df(\bar{x})(x - \bar{x}) = 0$$

$$\text{A hipótese implica que Hess } f(\bar{x}) = \begin{bmatrix} 2 & 0 \\ 0 & 8 \end{bmatrix} \Rightarrow f(x) \sim x_1^2 + 4x_2^2.$$

Dedução de que, dado $\epsilon > 0$ $\exists \delta > 0$ t.q. $0 < \|x\| < \delta \Rightarrow f(x) > x_1^2 + 4x_2^2 - \epsilon \|x\|^2$ (comportamento de f é parecido com o de Q prx. à origem)

• **Formas quadráticas em \mathbb{R}^n** : $Q(u) = \lambda^2 Q(u)$ da forma $Q(u) = \sum_{i,j=1}^n a_{ij} u_i u_j$, com forma matricial $Q(u) = \langle Au, u \rangle$, $A = [a_{ij}]$

• Uma transformação bilinear $B(u,v) = \langle Av, v \rangle$ induz a forma $Q(u) = B(u,u)$ [No nosso caso: $B = D^2 f(\bar{x})$, $A = \text{Hess } f(\bar{x})$]
matriz simétrica

• Def. de **pto crítico** de $f: \Omega = \Omega^\circ \subset \mathbb{R}^n \rightarrow \mathbb{R}$

• Algunas informações sobre formas quadráticas

• Representação matricial: $A = [a_{ij}]$ matriz de $B(u,v) = \langle Au, v \rangle \Rightarrow a_{ij} = B(e_i, e_j)$.

• **Afirmacão de Álgebra Linear**: A simétrica $\Rightarrow \exists C$ ortogonal t.q. $C^t A C$ é diagonal ($\Rightarrow A$ tem base ortogonal de autovetores)

• Nesta base: $\tilde{Q}(\tilde{u}) = d_1 \tilde{u}_1^2 + \dots + d_n \tilde{u}_n^2$, onde os d_i são as raizes do polinômio característico.

• **Exemplo**. $Q(u) = u_1^2 - 4u_1u_2 + u_2^2 \Rightarrow$ autovalores são $-1, 3 \Rightarrow C^t A C = \begin{bmatrix} 3 & 0 \\ 0 & -1 \end{bmatrix} \Rightarrow \tilde{Q}(\tilde{u}) = 3\tilde{u}_1^2 + (-1)\tilde{u}_2^2 \Rightarrow \tilde{Q}$ é indefinida

• **Teorema**. $f: \Omega = \Omega^\circ \subset \mathbb{R}^n \rightarrow \mathbb{R}$ de classe C^2 com pto. crítico \bar{x} . Então:

a) Hess $f(\bar{x})$ definida positiva $\Rightarrow f$ tem **mínimo local estrito** em \bar{x}

b) Hess $f(\bar{x})$ definida negativa $\Rightarrow f$ tem **máximo local estrito** em \bar{x}

c) Hess $f(\bar{x})$ indefinida $\Rightarrow f$ tem pto. de **sela** em \bar{x}

• **Critério de Sylvester** $\lambda = [a_{ij}]$ simétrica, definimos $A_1 = [a_{ii}]$, $A_2 = \begin{bmatrix} a_{11} & a_{12} \\ a_{21} & a_{22} \end{bmatrix}$, ..., $A_n = \begin{bmatrix} a_{11} & \dots & a_{1n} \\ \vdots & \ddots & \vdots \\ a_{n1} & \dots & a_{nn} \end{bmatrix}$

- $\det A_j > 0 \forall j \in \{1, \dots, n\} \Rightarrow A$ é definida positiva
- $\det A_j < 0 \forall j$ par, $\det A_j > 0 \forall j$ ímpar $\Rightarrow A$ é definida negativa

- O caso em que $H = \text{Hess } f(\bar{x})$ é indefinida

$$f(x) = \frac{1}{2!} D^2 f(\bar{x})(x - \bar{x})^2 + R_2(x),$$

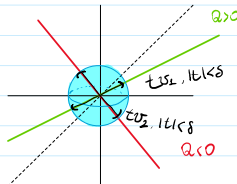
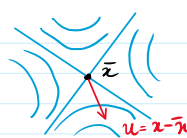
$$\frac{R_2(x)}{\|x - \bar{x}\|^2} \rightarrow 0$$

$$D^2 f(\bar{x}) u^2 = Q(u) - \langle H u, u \rangle$$

$$\begin{cases} \lambda_1 > 0 \text{ autovalor com autovetor } v_1 \\ \lambda_2 < 0 \text{ autovalor com autovetor } v_2 \end{cases} \Rightarrow \begin{cases} Q(tv_1) = t^2 \lambda_1 \|v_1\|^2 > 0 & \forall t \neq 0 \\ Q(tv_2) = t^2 \lambda_2 \|v_2\|^2 < 0 \end{cases}$$

$$\forall \varepsilon > 0 \exists \delta_\varepsilon \text{ s.t. } |R_2(x)| \leq \varepsilon \|x - \bar{x}\|^2 \text{ se } \|x - \bar{x}\| < \delta$$

$$\frac{1}{2!} D^2 f(\bar{x})(x - \bar{x})^2 - \varepsilon \|x - \bar{x}\|^2 \leq f(x) - f(\bar{x}) \leq \frac{1}{2!} D^2 f(\bar{x})(x - \bar{x})^2 + \varepsilon \|x - \bar{x}\|^2$$



$$\Rightarrow \text{escalhando } \varepsilon \text{ t.q. } \frac{\varepsilon + \lambda_1}{2} < 0, -\frac{\varepsilon + \lambda_2}{2} > 0 \text{ e fazeendo } x - \bar{x} = tv, \quad t \in S \text{ temos}$$

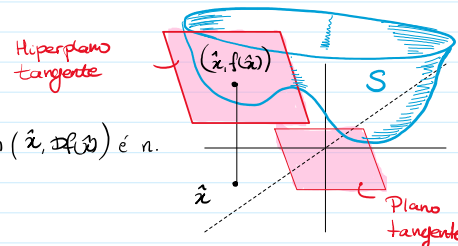
$$\begin{cases} f(\bar{x} + tv_1) < f(\bar{x}) \\ f(\bar{x} - tv_2) > f(\bar{x}) \end{cases}$$

- Superfície definida por gráfico de função f

- Dimensão do espaço tangente (imagem de $T(u) = (u, Df(\bar{x})u)$) e do "hyperplano" tangente ao gráfico em $(\bar{x}, f(\bar{x}))$ é n.

$$T(\bar{x}, f(\bar{x})) S = \text{Im } T$$

- Exemplo: superfície que não é gráfico de função



- Ideia da prova que $DH(\bar{x}) = \langle Df(\bar{x})u, g(\bar{x}) \rangle + \langle f(\bar{x}), Dg(\bar{x})u \rangle$ c.p.d. $H(x) = \{f(x), g(x)\}$

- Caso geral da composição com uma bilinear $B(x, y)$:

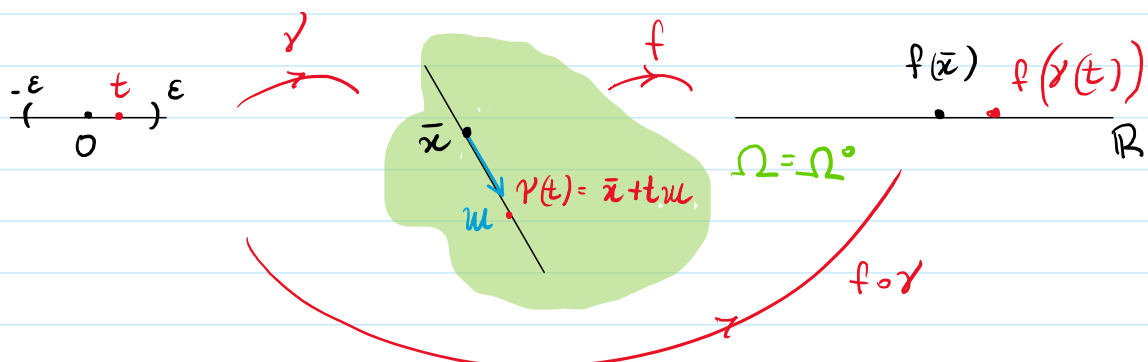
$$H(x) = B(f(x), g(x)) \Rightarrow DH(\bar{x})(u) = B(Df(\bar{x})u, g(\bar{x})) + B(f(\bar{x}), Dg(\bar{x})u)$$

Exercício: R trilinear, $H(x) = R(f(x), g(x), h(x))$. Então:

$$\begin{aligned} DH(\bar{x})(u) &= R(Df(\bar{x})u, g(\bar{x}), h(\bar{x})) + R(f(\bar{x}), Dg(\bar{x})u, h(\bar{x})) \\ &\quad + R(f(\bar{x}), g(\bar{x}), Dh(\bar{x})u) \end{aligned}$$

- Exemplo: $H(x) = \langle x, u \rangle \Rightarrow DH(\bar{x}) = 2(\bar{x}_1 e_1^* + \dots + \bar{x}_n e_n^*)$, onde $\{e_1^*, \dots, e_n^*\}$ é a base dual da base canônica.

- Exemplo: $f: \Omega = \Omega^\circ \subset \mathbb{R}^n \rightarrow \mathbb{R}$, $\gamma: (-\varepsilon, \varepsilon) \rightarrow \mathbb{R}^n$, $\gamma(t) = \bar{x} + t u$, com $\bar{x} \in \Omega$, $u = (u_1, \dots, u_n)$.



$$(f \circ \gamma)'(t) = \frac{\partial f}{\partial x_1}(\gamma(t)) \dot{\gamma}_1(t) + \dots + \frac{\partial f}{\partial x_n}(\gamma(t)) \dot{\gamma}_n(t)$$

$$(f \circ \gamma)''(t) = \sum_{i,j} \frac{\partial^2 f}{\partial x_i \partial x_j}(\gamma(t)) \dot{\gamma}_i(t) \dot{\gamma}_j(t) = D^2 f(\gamma(t))(u)^2$$

Aula 33 - 27/11

terça-feira, 8 de dezembro de 2020 13:57

- Prova da igualdade entre as derivadas de 2^a ordem opt. uma delas existe e é contínua no ponto (0,0).

Ideia: usa o lema $\frac{\partial^2 f}{\partial y \partial x}(0,0) = \lim_{(h,k) \rightarrow (0,0)} \frac{R(h,k)}{hk}$, onde $R(h,k) = f(h,k) - f(h,0) - f(0,k) + f(0,0)$

- Notação de multi-índice p/ derivadas parciais: $\frac{\partial^{|\mathbf{j}|} f}{\partial x_J} = \frac{\partial^{j_1+...+j_n} f}{\partial x_1^{j_1} \cdots \partial x_n^{j_n}} \left\{ \begin{array}{l} J = (j_1, j_2, \dots, j_n) \\ |J| = j_1 + \dots + j_n = k \end{array} \right.$

Aula 34 - 30/11

terça-feira, 8 de dezembro de 2020 14:27

- Definição de curva parametrizada C^1 em $S \subset \mathbb{R}^n$

- Definição de vetor tangente a S em \bar{s} e espaço tangente $T_{\bar{s}}S$

- Exemplo: $T_{\bar{s}}S$ obs. S é um cone $\begin{cases} \bar{s} \neq 0 \Rightarrow \text{plano} \\ \bar{s} = 0 \Rightarrow \text{é o próprio cone!} \end{cases}$

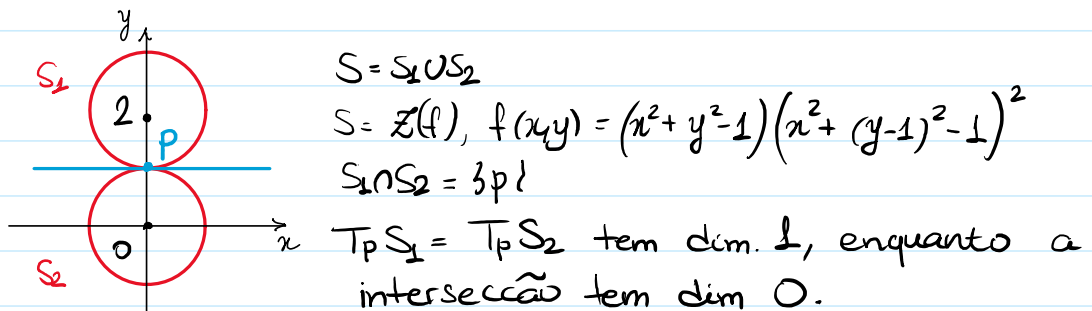
- Como descrever a "parte de cima" C^+ do cone como $Z(g)$, graf. l e $\text{Im } h$

- Pergunta: $C \cup \{(0,0)\} = \text{graf. } l_1 \Rightarrow l_1 \text{ pode ser } \mathbb{C}^1?$
 $C \cup \{(0,0)\} = \text{Im } h_1 \Rightarrow h_1 \text{ pode ser } \mathbb{C}^1?$

Resposta: Sim, como imagem; não como gráfico.

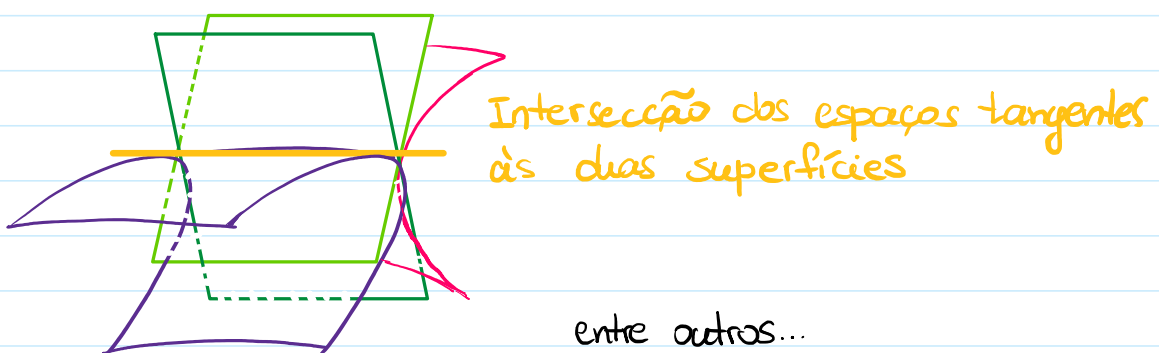
Porém, $Dh_1(0)$ não será injetora.

- Exemplo.



Exemplo análogo p/ intersecção de dois cilindros em \mathbb{R}^3 ao longo de uma reta. Além disso, S não tem como ser gráfico de uma função em torno de p .

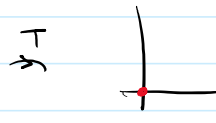
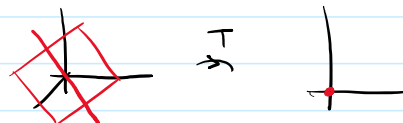
- Exemplo.



- **Sistemas de equações** do tipo $f(x) = b$, onde $f: \Omega \subset \mathbb{R}^n \rightarrow \mathbb{R}^m$
- Caso especial: **sistema linear** $Ax = b$ ($f(x) = Ax + c$) \Rightarrow sabemos sobre existência e unicidade
- $Ax = 0$ sempre tem solução
dim. da imagem = nº de colunas LI da matriz
co-dim. do kernel = nº de linhas LI da matriz

① $n < m$ ② $m = n$ ③ $n > m$

$$\begin{array}{c} \text{① } n < m \\ \left[\begin{array}{c|c} & \begin{bmatrix} x_1 \\ \vdots \\ x_n \end{bmatrix} \\ \hline \begin{bmatrix} a_{11} & \dots & a_{1n} \\ \vdots & \ddots & \vdots \\ a_{m1} & \dots & a_{mn} \end{bmatrix} & \begin{bmatrix} 0 \\ \vdots \\ 0 \end{bmatrix} \end{array} \right] \\ \text{② } m = n \\ \left[\begin{array}{c|c} \begin{bmatrix} a_{11} & \dots & a_{1n} \\ \vdots & \ddots & \vdots \\ a_{m1} & \dots & a_{mn} \end{bmatrix} & \begin{bmatrix} x_1 \\ \vdots \\ x_n \end{bmatrix} \\ \hline \begin{bmatrix} 0 \\ \vdots \\ 0 \end{bmatrix} & \begin{bmatrix} 0 \\ \vdots \\ 0 \end{bmatrix} \end{array} \right] \\ \text{③ } n > m \\ \left[\begin{array}{c|c} & \begin{bmatrix} x_1 \\ \vdots \\ x_n \end{bmatrix} \\ \hline \begin{bmatrix} a_{11} & \dots & a_{1n} \\ \vdots & \ddots & \vdots \\ a_{m1} & \dots & a_{mn} \end{bmatrix} & \begin{bmatrix} 0 \\ \vdots \\ 0 \end{bmatrix} \end{array} \right] \end{array}$$



Kernel é pelo menos uma reta

- Escalonamento provê essas informações

- No caso ②: injetora \Leftrightarrow kernel = {0} \Leftrightarrow sobrejetora:

$f(x) = 0$ tem unicidade $\Leftrightarrow \forall b \in \mathbb{R}^m, f(x) = b$ tem
de solução alguma solução (existência)

• No caso ③:

$$m \left\{ \begin{array}{c|cc} & \overset{m}{\overbrace{A}} & \overset{n-m}{\overbrace{c}} \\ \hline & \begin{bmatrix} x_A \\ \vdots \\ x_C \end{bmatrix} & \begin{bmatrix} b \\ \vdots \\ b \end{bmatrix} \end{array} \right\}_m \Leftrightarrow Ax_A = b - Cx_C \left\{ \begin{array}{l} \det A \neq 0 \Rightarrow x_A = A^{-1}(b - Cx_C) + x_C \\ \Rightarrow (x_A, x_C) \text{ é solução} \end{array} \right.$$

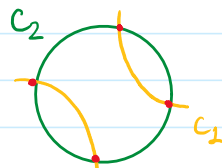
chute

$\det A = 0 \Rightarrow$ dependendo do chute x_C , pode ou não haver solução.

- Exemplo. $\begin{cases} f: \mathbb{R}^2 \rightarrow \mathbb{R}^2 \\ f(x, y) = (x^2 + y^2 - 1, e^{xy}) \end{cases}$ e $b = (b_1, b_2) \in \mathbb{R}^2 \Rightarrow \begin{cases} x^2 + y^2 - 1 = b_1 \text{ determina } C_1 \\ e^{xy} = b_2 \text{ determina } C_2 \end{cases}$

$b_1 < -1 \Rightarrow C_1 = \emptyset$

$b_1 = -1 \Rightarrow$ única solução é $(0, 0)$



Exemplo: $f: \mathbb{R}^3 \rightarrow \mathbb{R}^2$
 $f(x, y, z) = (x^2 + y^2 + z^2, x^2 - y^2)$ e $b \in \mathbb{R}^2 \Rightarrow \begin{cases} x^2 + y^2 + z^2 = b_1 \\ x^2 - y^2 = b_2 \end{cases}$

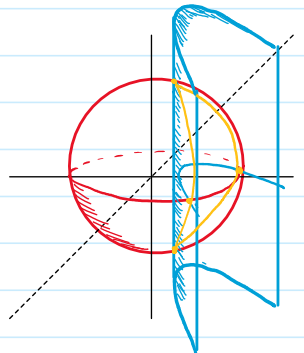
$b_2 < 0 \Rightarrow$ nenhuma solução

$b_2 = 0 \Rightarrow$ só tem solução se $b_1 = 0$, e é única $(0, 0, 0)$

$b_2 > 0 \Rightarrow$ a 1ª equação define uma esfera

a 2ª equação define uma fam. de "telhas"

(cuja distância determina a existência de soluções)

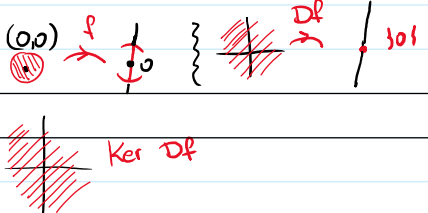
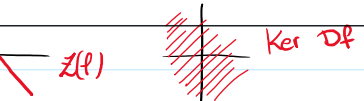


- Limitações p/ caracterização global das soluções de um sistema não-linear

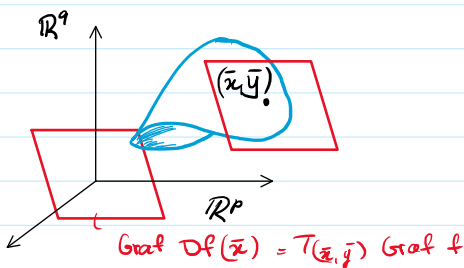
- Como a diferencial pode dar informações sobre os seguintes conjuntos especiais:

 $\text{Im}(f)$ $\text{Graf}(f)$, $f: \Omega \subset \mathbb{R}^p \rightarrow \mathbb{R}^q$ em torno de $\bar{x} \in \Omega$ fixado $Z(f)$

Pergunta. O que pode acontecer com:

$\text{Im } Df(\bar{x})$	$p=2, q=1, f(x) = x_1^3 + x_2^3, \bar{x}=(0,0)$	
$\text{Graf } Df(\bar{x})$	funciona melhor	
$Z(Df(\bar{x})) = \text{Ker } Df(\bar{x})$	mesmo exemplo	

- **Situação 1:** $\text{Graf}(f)$ e $\text{Graf}(Df(\bar{x})) = T_{(\bar{x}, f(\bar{x}))} \text{Graf}(f)$ têm a "mesma dimensão"



- Retomando o exemplo do cone, cujos espaços tangentes são todo o cone ou $\{0\}$ (parte "de cima")

- **Proposição:** $f: \Omega \subset \mathbb{R}^p \xrightarrow{\text{C}^1} \mathbb{R}^q$ e $(\bar{x}, \bar{y}) = (\bar{x}, f(\bar{x})) \Rightarrow$ o espaço tangente (velocidades das curvas...) é um espaço vetorial de dim p e é o $\text{Graf } Df(\bar{x})$

- **Comentários:**

$$H(x) = (x, f(x)) \Rightarrow JH(\bar{x}) = \begin{bmatrix} I_{p \times p} \\ Jf(\bar{x})_{q \times p} \end{bmatrix}_{(p+q) \times p} \quad \text{tem } p \text{ colunas LI} \Rightarrow \dim \text{Im } Df(\bar{x}) = p$$

$$\Rightarrow \text{Im } Df(\bar{x}) = \text{Graf } Df(\bar{x}) \text{ tem dim. } p$$

- Situação especial: $f: \Omega = \bar{\Omega} \subset \mathbb{R}^p \rightarrow \mathbb{R}^q$ de classe C^1 e $\bar{x} \in \Omega$ t.q. $Df(\bar{x})$ é injetiva

i) $v \in \mathbb{R}^p$, $v(t) = \bar{x} + tv \Rightarrow (f \circ v)'(0) = Df(\bar{x})(v)$

Obs: $f \circ v: (-\varepsilon, \varepsilon) \rightarrow \mathbb{R}^q$ é uma curva em $S = \text{Im } f$ passando em $\bar{y} = f(\bar{x})$ em $t=0$ com velocidade $Df(\bar{x})(v)$.

Logo: $Df(\bar{x})(v) \in T_{\bar{y}} S$ (Não depende de injetividade)

Injetividade $\Rightarrow \dim T_{\bar{y}} S > p$

ii)

Pergunta: É possível garantir = p?

- Caso especial: $f: \Omega = \bar{\Omega} \subset \mathbb{R}^p \rightarrow \mathbb{R}^q$ de classe C^1 e $\bar{x} \in \Omega$ t.q. $f(\bar{x}) = 0$

i) Quem é $T_{\bar{x}} Z(f)$?

$v \in T_{\bar{x}} Z(f) \Rightarrow \exists \gamma: (-\varepsilon, \varepsilon) \xrightarrow{C^1} Z(f)$ com $\gamma(0) = \bar{x}$, $\gamma'(0) = v \Rightarrow Df(\bar{x})(v) = 0$

∴ $T_{\bar{x}} Z(f) \subset \text{Ker } Df(\bar{x})$

ii)

Pergunta: Sob que condições vale a igualdade?

- Teorema da função injetora. [Teorema 41.5 do Barbe]

Hipóteses: $\begin{cases} f: \Omega = \bar{\Omega} \subset \mathbb{R}^p \rightarrow \mathbb{R}^q \text{ de classe } C^1 \\ \bar{x} \in \Omega \text{ com } Df(\bar{x}): \mathbb{R}^p \rightarrow \mathbb{R}^q \text{ injetora} \end{cases}$

Tese: $\begin{cases} \exists \text{ vizinhança } V \text{ de } \bar{x} \text{ t.q. } f|_V \text{ é injetora} \\ \text{a "induzida" } f|_V: V \rightarrow f(V) \text{ tem inversa contínua} \end{cases}$

Exemplo: $f(x_1, x_2) = (e^{x_1} \cos x_2, e^{x_1} \sin x_2)$
satisfaz às hipóteses em todo ponto mas não é injetora em todo seu domínio

- Aplicação: sistema não-linear

$$\begin{cases} f_1(x_1, \dots, x_p) = \bar{y}_1 + \varepsilon_1 \\ \vdots \\ f_q(x_1, \dots, x_p) = \bar{y}_q + \varepsilon_q \end{cases}, \text{ com solução única } \bar{x} \text{ se } \varepsilon_1 = \dots = \varepsilon_q = 0$$

Se f é C^1 e $Df(\bar{x})$ injetora, então p/ $\|\varepsilon\|$ pequeno temos unicidade de solução ponto de \bar{x} .

Se variarmos $\bar{y} + \varepsilon_k$ em $\text{Im } f$ com $\varepsilon_k \rightarrow 0$ as soluções únicas x_k satisfazem $x_k \rightarrow \bar{x}$ (problemas inversos: a entrada varia continuamente com a saída?)

- Teorema da função sobrejetora.

Hipóteses: $\begin{cases} f: \Omega = \bar{\Omega} \subset \mathbb{R}^p \rightarrow \mathbb{R}^q \text{ de classe } C^1 \\ \bar{x} \in \Omega \text{ com } Df(\bar{x}): \mathbb{R}^p \rightarrow \mathbb{R}^q \text{ sobrejetora} \end{cases}$

Exemplo: A mesma f de acima satisfaz às hipóteses em todo ponto mas não é sobrejetora, pois $f(x) \neq 0 \forall x$

Tese: $\exists \alpha, m > 0$ t.q. $B_\alpha(\bar{x}) \subset \Omega$ e $B_{\frac{\alpha}{2m}}(f(\bar{x})) \subset f(B_\alpha(\bar{x}))$

Exemplo: Nas condições do teorema, dados um sistema não-linear como acima e $(y_n)_{n \in \mathbb{N}}$ seq. em \mathbb{R}^q com $y_n \rightarrow \bar{y}$, p/ n suficientemente grande. $\exists (x_n)_{n \in \mathbb{N}}$ seq. de soluções com $x_n \rightarrow \bar{x}$ (existência de soluções).

• Teorema da função aberta:

Hipóteses: $\begin{cases} f: \Omega \subset \mathbb{R}^n \rightarrow \mathbb{R}^q \text{ de classe } C^1 \\ Df(x): \mathbb{R}^n \rightarrow \mathbb{R}^q \text{ sobrejetora } \forall x \in \Omega \end{cases}$

Tese: $\Omega \subset \mathbb{R}^n$ aberto $\Rightarrow f(\Omega)$ é aberto

• Teorema da função inversa:

Hipóteses: $\begin{cases} f: \Omega = \bar{\Omega} \subset \mathbb{R}^n \rightarrow \mathbb{R}^n \text{ de classe } C^1 \\ \bar{x} \in \Omega \text{ com } Df(\bar{x}): \mathbb{R}^n \rightarrow \mathbb{R}^n \text{ bijetora} \end{cases}$

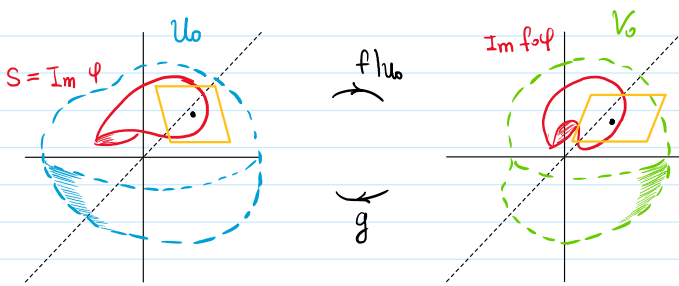
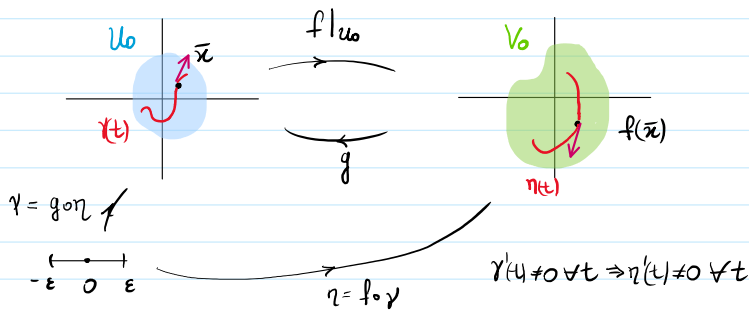
Tese: \exists abertos U contendo \bar{x} , V contendo $\bar{y} = f(\bar{x})$ tais que $f(U) = V$ e $f: U \rightarrow V$ é bijetora com inversa contínua a inversa $g: V \rightarrow U$ da "induzida" por f é de classe C^1
 $Dg(f(x)) = [Df(x)]^{-1} \quad \forall x \in \Omega$

Em particular, $Dg(\bar{y}) = [Df(\bar{x})]^{-1}$

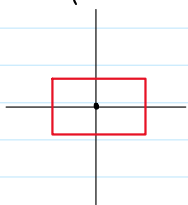
• Exemplo. $f(x,y) = (e^x \cos y, e^x \sin y)$ tem inversa local C^∞ (ramos do logaritmo complexo), mas não tem inversa global. A jacobiana dessas inversas locais é:

$$Jg(f(\bar{x}, \bar{y})) = e^{-\bar{x}} \begin{bmatrix} \cos \bar{y} & \sin \bar{y} \\ \sin \bar{y} & \cos \bar{y} \end{bmatrix}$$

• Geometria: Nas condições do T.F. Inversa



f (contínua cl inversa
contínua sobre a imagem)



$Df(\bar{u}, \bar{v})$ injetora
 $Df(f(\bar{u}, \bar{v}))$ bijetora

Como $\text{Im } Df(\bar{u}, \bar{v}) \subset T_{f(\bar{u}, \bar{v})} S$, $\dim T_{f(\bar{u}, \bar{v})} S \geq 2$.

Podemos concluir que é igual?

Ainda não temos nada que garanta isto!

(Nas condições do TF Injetora, a inversa local é apenas contínua, pode não gerar uma curva C^1 no domínio)

• Teorema da função implícita:

Hipóteses: $\begin{cases} f: \Omega = \bar{\Omega} \subset \mathbb{R}^p \times \mathbb{R}^q \rightarrow \mathbb{R}^q \text{ de classe } C^1, \text{ com } (x, y) \mapsto f(x, y) \\ (\bar{x}, \bar{y}) \in \Omega \text{ com } f(\bar{x}, \bar{y}) = 0 \text{ e } D_2 f(\bar{x}, \bar{y}): \mathbb{R}^q \rightarrow \mathbb{R}^q \text{ bijetora} \end{cases}$

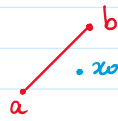
Tese: \exists abertos U contendo \bar{x} , V contendo \bar{y} e $\Psi: U \rightarrow V$ de classe C^1 tais que:

$$(x, y) \in U \times V \text{ e } f(x, y) = 0 \Leftrightarrow y = \Psi(x)$$

• Lema [41.3]. $f: \Omega = \bar{\Omega} \subset \mathbb{R}^p \rightarrow \mathbb{R}^q$ de classe C^1 (ou apenas diferenciável)

$s \subset \Omega$ segmento de extremos $a, b \in \Omega$ e $x_0 \in \Omega$. Então:

$$\|f(b) - f(a) - Df(x_0)(b-a)\| \leq \|b-a\| \sup_{x \in s} \|Df(x) - Df(x_0)\|_F$$



• Ideia de como provar o teorema da função injetora a partir do lema

• Ideia de prova do teorema da função implícita a partir da função inversa

$$f: \Omega \subset \mathbb{R}^p \times \mathbb{R}^q \rightarrow \mathbb{R}^p \times \mathbb{R}^q$$

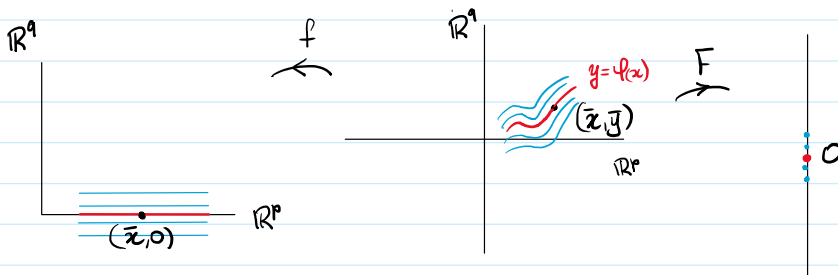
$$f(\bar{x}, \bar{y}) = (\bar{x}, F(\bar{x}, \bar{y}))$$

$$F: \Omega \subset \mathbb{R}^p \times \mathbb{R}^q \rightarrow \mathbb{R}^q$$

$$\left\{ \begin{array}{l} F: \Omega \subset \mathbb{R}^p \times \mathbb{R}^q \rightarrow \mathbb{R}^q, C^1 \\ F(\bar{x}, \bar{y}) = 0 \text{ e } D_2 F(\bar{x}, \bar{y}) \text{ bijetiva} \\ \Rightarrow \exists V \times W \subset \Omega, \psi: V \rightarrow W \text{ tal que} \\ \bar{x} \in V, \bar{y} = f(\bar{x}) \Leftrightarrow F(\bar{x}, \bar{y}) = 0 \end{array} \right.$$

$$J_f(\bar{x}, \bar{y}) = \begin{bmatrix} I_{p \times p} & 0 \\ J_1 F(\bar{x}, \bar{y}) & J_2 F(\bar{x}, \bar{y}) \end{bmatrix}$$

tem $\det \neq 0 \Rightarrow Df(\bar{x}, \bar{y})$ é bijetiva



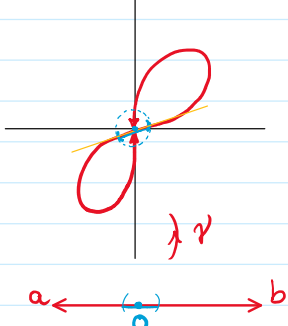
$$f(\bar{x}, \bar{y}) = (\bar{x}, 0), \quad \psi(x) = g(x, 0) \quad (\text{onde } g \text{ é da função inversa})$$

• Espaços tangentes: $f: \Omega = \bar{\Omega} \subset \mathbb{R}^p \rightarrow \mathbb{R}^m$

Conjunto	Espaço tangente
Graf f	$T(\bar{x}, f(\bar{x}))$ graf f = graf $Df(\bar{x})$
$Z(f)$	$Df(\bar{x})$ tem posto máximo $\Rightarrow T_{\bar{x}} Z(f) = \text{Ker } Df(\bar{x})$
Im f	?? (problema abaixo)

• Exemplo.

f injetora, C^1 , regular ($Df(t) \neq 0 \forall t \in (a, b)$)



Num sentido "local" o espaço tangente à $f(t)$ em 0 é a reta horizontal. Porém, o conjunto de velocidades permitidas é a união das retas horizontal e vertical!

- Máximos e mínimos condicionados [multiplicadores de Lagrange] Formulações da mesma pergunta:

①

$$f: \mathbb{S} \subset \mathbb{R}^3 \rightarrow \mathbb{R}$$

f tem máx/min em \mathbb{S} ?

②

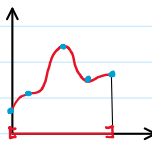
$$f: \mathbb{R}^3 \rightarrow \mathbb{R}, \mathbb{S} \subset \mathbb{R}^3$$

$f|_{\mathbb{S}}: \mathbb{S} \rightarrow \mathbb{R}$ tem máx/min?

- Algumas informações:

1) \mathbb{S} cpt, f contínua $\Rightarrow \exists$ pts de máx/min

2) Como podemos encontrá-los?



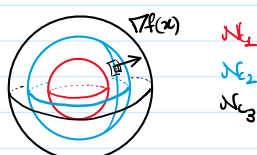
- Recordação: máx/min global podem estar nos "extremos" de um intervalo

- $f: \mathbb{R}^n \xrightarrow{C^1} \mathbb{R}$. Se $\nabla f(\mathbf{x}) = \mathbf{0} \forall \mathbf{x} \in \mathbb{S}$, pelo T.F. Implica que este conjunto é uma "hiper-superfície" de nível (de dim. $n-1$)

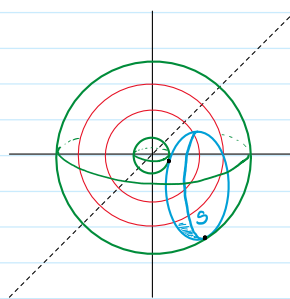
- $f: \mathbb{R}^3 \xrightarrow{C^1} \mathbb{R}$, $\nabla f(\mathbf{x}) \neq 0$

ortogonal aos

conjuntos de nível,
"aponta" p' onde f cresce



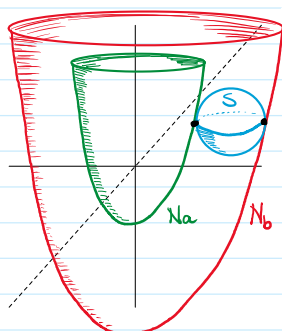
- Exemplo quando \mathbb{S} é um parabolóide \Rightarrow os extremos de $f(x_1, x_2, x_3) = x_1^2 + x_2^2 + x_3^2$ são encontrados nas "tangências"



- Exemplo: quando \mathbb{S} é uma esfera e $f(\mathbf{x}) = x_3 - x_1^2 - x_2^2$:

$$\min f|_{\mathbb{S}} = a$$

$$\max f|_{\mathbb{S}} = b$$

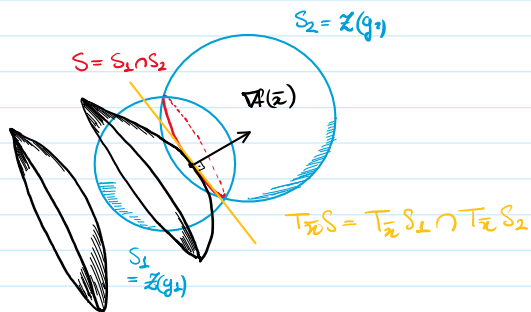


- Nesses pontos de tangência: $S = z(g) = N_a(g) \Rightarrow \nabla f \text{ e } \nabla g \text{ são LD (os máximos e mínimos estão entre tais pontos)}$

- Caso de interesse: $g \in C^1$, $S = z(g)$ com $\nabla g(\mathbf{x}) \neq 0 \forall \mathbf{x} \in S$ (S é $(n-1)$ -superfície), $f \in C^1$ definida num aberto contendo S . Então, em um ponto de máx/min (local ou global) $\bar{\mathbf{x}}$ de $f|_{\mathbb{S}}$ tem-se $\nabla f(\bar{\mathbf{x}}) = \lambda \nabla g(\bar{\mathbf{x}})$

(λ = multiplicador de Lagrange)

- Extensão p/ o caso $S = \mathcal{Z}(g)$, onde $g = (g_1, \dots, g_k)$, com $g_j \in \mathbb{C}^1$ e $\nabla g_1, \dots, \nabla g_k$ L.I.: $\nabla f(\bar{x}) = \lambda_1 \nabla g_1(\bar{x}) + \dots + \lambda_k \nabla g_k(\bar{x})$



• Prova do Lema 41.3: $\text{TM p/ } g(x) = f(x) - Df(x_0)(x)$.

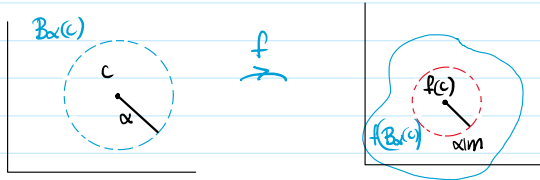
• Lema da Aproximação (41.4): $f: \Omega = \bar{\Omega} \subset \mathbb{R}^p \rightarrow \mathbb{R}^q$ é¹, $x_0 \in \Omega$ e $\varepsilon > 0 \Rightarrow \exists \delta = \delta(\varepsilon) > 0$ tais que $B_\delta(x_0) \subset \Omega$ e, se $x_1, x_2 \in B_\delta(x_0)$ entâo $\|f(x_1) - f(x_2) - Df(x_0)(x_1 - x_2)\| \leq \varepsilon \|x_1 - x_2\|$.

Contratar $\sup_{\bar{s}} \|Df(x) - Df(x_0)\|$ usando que $f \in C^1$

• Teorema da função injetora: $Df(c)$ injetora $\Rightarrow \exists r > 0$ tais que $\|Df(c)u\| \geq r \|u\| \forall u \in \mathbb{R}^p$.

Usamos o lema com $c = x_0$ e $\varepsilon = \frac{r}{2}$. A continuidade da inversa segue dela ser Lipschitz com $\frac{2}{r}$.

• Teorema da função sobrejetora: $Df(c)$ sobrejetora $\Rightarrow \exists \alpha > 0, m > 0$ tais que $B_{\frac{\alpha}{m}}(f(c)) \subset f(B_\alpha(c))$



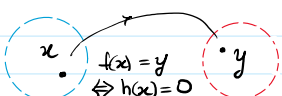
Tomamos $\{u_i, v_i\}_{i=1}^q$ LI tais que $Df(c)u_i = v_i$ (base canônica)

Definimos $M: \mathbb{R}^q \rightarrow \mathbb{R}^p$ por: $M(\sum y_i u_i) = \sum y_i v_i$ (inversa à direta de $Df(c)$)

Tomamos $m = \left(\sum_{i=1}^q \|y_i\|^2\right)^{1/2}$. Note que: $\|M(y)\| \leq m \|y\|$ (Cauchy-Schwartz)

Aplicamos o lema da aproximação com $x_0 = c$ e $\varepsilon = 1/2m$, tomamos $\alpha = \delta$

Nos inspiramos no método de Newton com $h(x) = f(x) - y$, onde $y \in B_{\frac{\alpha}{m}}(f(c))$ é dado.



Método de Newton:

equivalentes $\downarrow h(x) = 0$ (problema de zeros)

$\downarrow \phi(x) = x - [Dh(x)]^{-1}(h(x))$ (problema de pt fixo $\phi(x) = x$)

Método de Newton modificado:

$\phi(x) = x - [Dh(x)]^{-1}(h(x))$

Construímos a sequência: $x_0 = c$

$$x_1 = x_0 + M(f(x_0) - y) = x_0 - M(f(x_0) - y) = x_0 - M(h(x_0)) = \phi(x_0)$$

$$\begin{cases} \|x_1 - x_0\| \leq \alpha/2 \\ \|x_1 - c\| \leq \left(1 - \frac{1}{2}\right)\alpha \end{cases}$$

$$\text{Definimos: } x_{n+1} = x_n - M(f(x_n) - y)$$

Isolando y sucessivamente e aplicando $Df(c)$ à esquerda, temos:

$$\begin{cases} x_{n+1} = x_n - M(f(x_n) - f(x_{n-1}) - Df(c)(x_n - x_{n-1})) \\ \|x_{n+1} - x_n\| \leq \alpha/2^{n+1} \\ \|x_{n+1} - c\| \leq \left(1 - \frac{1}{2^{n+1}}\right)\alpha \end{cases}$$

Concluímos que (x_n) converge ao ponto desejado.